

Вիզիկп-бшрьбшт. գիшперјасббър XIII, № 2, 1960 Физико-математические науки

ТЕОРИЯ ПОЛЗУЧЕСТИ

м. м. Манукян

Изгиб железобетонной балки с учетом неустановившейся ползучести только сжатой зоны бетона

В настоящей работе исследуются деформации и напряжения в изгибаемой железобетонной балке с учетом нелинейной ползучести только сжатой зоны бетона.

В линейной постановке эта задача была изучена в нашей работе [1]. Но экспериментальные исследования показывают, что в широком диапазоне изменения напряжений $\left(\frac{1}{2} \ R \leqslant \sigma \leqslant R \right)$, где R—предел проч-

ности материала) линейная связь между деформациями ползучести

и соответствующими напряжениями нарушается. Поэтому, при решении рассматриваемой задачи будем исходить из нелинейных уравнений теории ползучести, развитой в работе [2]. Решение задачи сводится к интегрированию нелинейного интегрального уравнения Вольтерра второго рода, методом, данным в работе [3] Особенность этого метода решения заключается в том, что в качестве первого приближения берется не упругое решение, а решение соответствующей задачи линейной ползучести. Именно благодаря этому значительно усиливается быстрота сходимости последовательных приближений.

Решение рассматриваемой задачи когда бетон находится в состоянии установившейся ползучести, а напряжение арматуры получает свое предельное значение σ_T , приведено в работе [4].

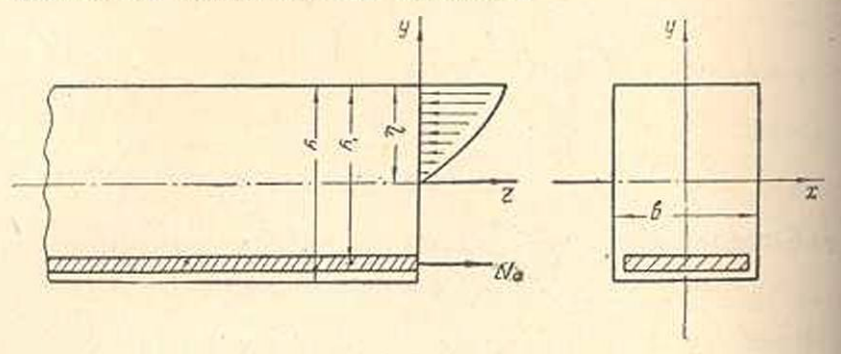
§ 1. Постановка задачи и основные уравнения

Рассмотрим изгибаемую железобетонную балку с одиночной арматурой (фиг. 1). Допустим, что балка имеет одну плоскость симметрии и все внешние силы действуют в этой плоскости.

Далее, положим, что сжимаемая зона бетона работает полностью, а растянутая зона не работает вследствие образования в ней трещин. Обозначим расстояние от сжатого края сечения до центра тяжести арматуры через h_1 , высоту сечения—h, ширину—b, расстояние нейтральной оси от верхнего края балки— τ .

Направим координатные оси ох и оу параллельно главным осям инерции поперечного сечения, а ось ог—по направлению, параллельному геометрической оси балки.

При изучении напряженного состояния в изгибаемой железобетонной балке примем, что сечения после деформации остаются плоскими. Для упрощения дальнейших выкладок будем полагать, что модуль мгновенной деформации $E_{\tilde{\epsilon}}$ постоянен.



Фиг. 1

Как известно, между полной продольной деформацией бетом $s_i(t)$ и напряжением $\sigma_i(t)$ с учетом нелинейной ползучести бетом существует зависимость [2]

$$\epsilon_{\delta}(t) = \frac{\sigma_{\delta}(t)}{E_{\delta}} - \int_{\tau_{1}}^{t} F[\sigma_{\delta}(\tau)] \frac{\partial C(t,\tau)}{\partial \tau} d\tau. \tag{III}$$

Здесь $C(t,\tau)$ —мера ползучести бетона при одноосном напряженном состоянии, $F(\tau_\delta)$ —некоторая функция, характеризующая нелинейную зависимость между напряженнями и деформациями ползучестя для бетона, определяемая из опыта в результате испытания на простую ползучесть и нормированная условием F(1)=1, τ_1 —возраст бетона в момент приложения нагрузки, t—время.

Пусть $F(\sigma_\delta)$ является степенной функцией вида

$$F(\sigma_{k}) = \alpha \sigma_{k} + \beta \sigma_{k}^{m}, \qquad (1.2)$$

тде α, β, т-постоянные параметры, определяемые из опыта.

Такого вида функция характерна тем, что обладает достаточной общностью и хорошо описывает экспериментальные кривые ползучести в широком диапазоне изменения напряжений [5, 6].

Очевидно, что если в (1.2) параметр β является малым, то функция $F(\sigma_k)$ будет описывать кривые ползучести материалов, обладьющих слабой нелинейностью.

Внося выражение $F(\sigma_{\delta})$ из (1.2) в (1.1), получим

$$\varepsilon_{\delta}(t) = \frac{\sigma_{\delta}(t)}{E_{\delta}} - \alpha \int_{\tau_{\delta}}^{t} \sigma_{\delta}(\tau) \frac{\partial C(t,\tau)}{\partial \tau} d\tau - \beta \int_{\tau_{\delta}}^{t} [\sigma_{\delta}(\tau)]^{m} \frac{\partial C(t,\tau)}{\partial \tau} d\tau. \tag{1.3}$$

Пользуясь гипотезой плоских сечений, можем написать

$$\varepsilon_t(t) = A(z, t)y,$$
 (4.4)

где A(z,t)—неизвестная кривизна балки в данный момент времени t. Здесь в каждый момент времени рассматриваются те точки балки.

оторые от перемещающейся нейтральной оси находя ся на расстоянии у.

Подставляя выражение $\varepsilon_b(t)$ из (1.4) в (1.3), получим

$$\sigma_{\delta}(t) - \alpha \int_{\tau_{\delta}}^{t} \sigma_{\delta}(\tau) K(t, \tau) d\tau - \beta \int_{\tau_{\delta}}^{t} [\sigma_{\delta}(\tau)]^{m} K(t, \tau) d\tau = E_{\delta} A(z, t) y, \qquad (1.5)$$

FRE

$$K(t,\tau) = E_{\delta} - \frac{\partial C(t,\tau)}{\partial \tau}. \tag{1.6}$$

Таким образом, задача сводится к решению нелинейного интегрального уравнения Вольтерра второго рода (1.5). Функция A(z,t) определяется из уравнений равновесия.

§ 2. Решение интегрального уравнения (1.5)

Пользуясь методом, развитым в работе [3], будем искать решение уравнения (1.5) в следующей форме

$$\sigma_{\delta}(t) = \sigma_{\delta}^{(0)}(t) + \beta \sigma_{\delta}^{(1)}(t) + \beta^{2} \sigma_{\delta}^{(2)}(t) + ...$$
 (2.1)

Подставляя это выражение в уравнение (1.5) и приравнивая коэффициенты при одинаковых степенях В, получим

$$\sigma_{\delta}^{(0)}(t) - \alpha \int_{\tau_{\delta}}^{t} \sigma_{\delta}^{(0)}(\tau) K(t, \tau) d\tau = E_{\delta} A(z, t) y,$$
 (2.2)

$$\sigma_{\xi}^{(1)}(t) - \alpha \int_{\tau_{i}}^{t} \sigma_{\xi}^{(1)}(\tau) K(t, \tau) d\tau = \int_{\tau_{i}}^{t} [\sigma_{\xi}^{(0)}(\tau)]^{m} K(t, \tau) d\tau, \qquad (2.3)$$

$$\sigma_{\xi}^{(2)}(t) - \alpha \int_{\tau_1}^{t} \sigma_{\xi}^{(2)}(\tau) K(t, \tau) d\tau = m \int_{\tau_1}^{t} [\sigma_{\xi}^{(0)}(\tau)]^{m-1} \sigma_{\xi}^{(1)}(\tau) K(t, \tau) d\tau, \quad (2.4)$$

Таким образом, решение нелинейного интегрального уравнения (1.5) сводится к решению некоторой совокупности рекуррентных ливейных интегральных уравнений (2.2), (2.3), (2.4)...

Займемся решением этих уравнений.

Решение уравнения (2.2) будет

$$\sigma_{\epsilon}^{(0)}(t) = E_{\epsilon} y H_0(t, \tau_1),$$
 (2.5)

где

$$H_0(t,\tau_1) = A(z,t) + \alpha \int_{\tau_1}^t A(z,\tau) R(t,\tau,\alpha) d\tau.$$
 (2.6)

Здесь $R(t, \tau, \alpha)$ —резольвента линейного интегрального уравнения Вольтерра с ядром $K(t, \tau)$.

Если для меры ползучести бетона принять [2]

$$C(t, \tau) = \left(\frac{A_1}{\tau} + C_0\right) \left[1 - e^{-\tau(t-\tau)}\right],$$
 (2.7)

где A_1 , C_0 , γ —постоянные параметры, определяемые из опыта, то

выражение резольвенты $R(t,\tau,\alpha)$ можно представить в следующей виде

$$\alpha R(t,\tau,\alpha) = \gamma - \eta'(\tau) + [\eta'^{2}(\tau) + \eta''(\tau) - \gamma \eta'(\tau)]e^{\eta(\tau)} \int_{\tau}^{t} e^{-\eta(x)} dx, \qquad (2.8)$$

где

$$\eta(\tau) = \gamma \int_{\tau_1}^{\tau} \left[1 + \alpha E_{\varepsilon} \left(\frac{A_1}{\tau} + C_0 \right) \right] d\tau.$$
(2.8)

Решение уравнения (2.3) будет

$$\sigma_{\varepsilon}^{(1)}(t) = (E_{\varepsilon}y)^{m} [H_{1}(t, \tau_{1}) + \alpha \int_{\tau_{1}}^{t} H_{1}(\tau, \tau_{1}) R(t, \tau, \alpha) d\tau]. \tag{2.10}$$

Здесь положено

$$H_1(t, \tau_1) = \int_{\tau_1}^{t} [H_0(\tau, \tau_1)]^m K(t, \tau) d\tau.$$
 (2.11)

Если ограничиваться только вторым приближением, то решение основного уравнения (1.5) можно представить в следующем виде

$$\sigma_{\delta}(t) = E_{\delta} y \{ H_0(t, \tau_1) + \beta (E_{\delta} y)^{m-1} [H_1(t, \tau_1) + \alpha \int_{\tau_1}^{t} H_1(\tau, \tau_1) R(t, \tau, \alpha) d\tau] \} + O(\beta^2).$$
(2.12)

Для определения неизвестной функции A(z, t) пользуемся уравнениями равновесия

$$\int_{0}^{\tau_{i}} \sigma_{i}(t)bdy + N_{a}(t) = 0,$$

$$\int \sigma_{i}(t)bydy - N_{a}(t)(h_{1} - \tau_{i}) \Rightarrow M_{z}.$$
(2.13)

Здесь $N_a(t)$ —усилие в арматуре, равное $F_a \sigma_a(t)$, F_a —площав поперечного сечения арматуры, $\sigma_a(t)$ —напряжение в арматуре, $\eta = \eta(t)$ —неизвестная высота сжатой зоны балки в момент времени t, M_z —величина изгибающего момента.

Из условия совместности деформаций арматуры и соприкасающе гося с ней слоя бетона имеем

$$\epsilon_{\delta}(t)|_{y=-(h_1-\gamma)} = \epsilon_a(t).$$
 (2.14)

Пользуясь этими соотношениями и замечая, что

$$\varepsilon_a(t) = \frac{\sigma_a(t)}{E_a}$$
, (2.15)

получим выражение усилия $N_a(t)$

$$N_a(t) = -F_a E_a A(z, t)(h_1 - \eta),$$
 (2.16)

гае E_a-модуль деформации арматуры.

Подставляя значения $\sigma_{\delta}(t)$ и $N_a(t)$ из (2.12) и (2.16) в уравнения (2.13), получим:

$$\frac{1}{2}bE_{\delta}\eta^{2}H_{0}(t,\tau_{1}) + \beta \frac{b}{m+1}E_{\delta}^{m}\eta^{m+1} \int_{\tau_{1}}^{t} \left\{ [H_{0}(\tau,\tau_{1})]^{m} + \right.$$

$$+ \alpha \int_{\tau_{1}}^{\tau} [H_{0}(x,\tau_{1})]^{m} R(t,x,\alpha) \left\} K(t,\tau) d\tau = F_{a}E_{a}A(z,t)(h_{1}-\eta), \qquad (2.17)$$

$$\frac{1}{3}b\eta^{3}E_{\delta}H_{0}(t,\tau_{1}) + \beta \frac{b}{m+2}\eta^{m+2}E_{\delta}^{m} \int_{\tau_{1}}^{t} \left\{ [H_{0}(\tau,\tau_{1})]^{m} + \right.$$

$$+ \alpha \int_{\tau_{1}}^{\tau} [H_{0}(x,\tau_{1})]^{m}R(t,x,\alpha) dx \right\} K(t,\tau) d\tau + F_{a}E_{a}A(z,t)(h_{1}-\eta)^{2} = M_{z}. \qquad (2.18)$$

Решение уравнения (2.6) будет

$$A(z, t) = H_0(t, \tau_1) - \alpha \int_{\tau_1}^{t} H_0(\tau, \tau_1) K(t, \tau) d\tau.$$
 (2.19)

Здесь $K(t, \tau)$ является резольвентой ядра $R(t, \tau, \alpha)$.

Внеся выражение A(z,t) из (2.19) в (2.17) и (2.18), найдем

$$\begin{split} & [p_1\tau^2 - p_2(1-\zeta)]H_0(t,\tau_1) + p_2(1-\zeta)\alpha\int_{\tau_1}^t H_0(\tau,\tau_1)K(t,\tau)d\tau + \\ + \bar{p}p_1\tau^{m+1}\int_{\tau_1}^t \Big\{ [H_0(\tau,\tau_1)]^m + \alpha\int_{\tau_1}^\tau [H_0(x,\tau_1)]^m R(t,x,\alpha)dx \Big\}K(t,\tau)d\tau = 0, \qquad (2.20) \\ & [q_1\zeta^3 + q_2(1-\zeta)^2]H_0(t,\tau_1) - q_2(1-\zeta)^2\alpha\int_{\tau_1}^t H_0(\tau,\tau_1)K(t,\tau)d\tau + \\ + \bar{p}q_1\tau^{m+2}\int_{\tau_1}^t \Big\{ [H_0(\tau,\tau_1)]^m + \alpha\int_{\tau_1}^t [H_0(x,\tau_1)]^m R(t,x,\alpha)dx \Big\}K(t,\tau)d\tau = M_z, \qquad (2.21) \end{split}$$

 $p_{1} = \frac{1}{2} b E_{i} h_{i}^{z}, \quad p_{2} = F_{a} E_{a} h_{1}, \quad p_{3} = \frac{b h_{i}^{m+1}}{m+1} E_{b}^{m},$ $q_{i} = \frac{1}{3} b E_{b} h_{i}^{z}, \quad q_{2} = F_{a} E_{a} h_{i}^{z}, \quad q_{3} = \frac{b h_{i}^{m+2}}{m+2} E_{b}^{m},$ (2.22)

 $\frac{1}{h_1}$ —есть отношение высоты сжатой зоны сечения балки в момент пемени t к полезной высоте сечения.

Таким образом, определение искомых функций $H_0(t, \tau_1)$ и $\zeta(t)$ свелось к совместному решению двух нелинейных интегральных уравнений (2.20) и (2.21). К этим уравнениям применим вышеизложенный метод.

Ищем решение этих уравнений в следующей форме

$$H_0(t, \tau_1) = H_0^{(0)}(t, \tau_1) + \beta H_0^{(1)}(t, \tau_1) + \beta^2 H_0^{(2)}(t, \tau_1) + ...,$$
 (2.23)

$$\zeta(t) = \zeta_0(t) + \beta \zeta_1(t) + \beta^2 \zeta_2(t) + \dots$$
 (2.24)

Подставляя эти выражения в (2.20), (2.21) и приравнивая коэффициенты при одинаковых степенях β, получим

$$[p_1\zeta_0^z - p_2(1-\zeta_0)]H_0^{(0)}(t, \tau_1) + p_2(1-\zeta_0)\alpha \int_{\tau_0}^t H_0^{(0)}(\tau, \tau_1)K(t, \tau)d\tau = 0, \qquad (2.25)$$

$$\begin{split} [q_1\zeta_o^3 + q_2(1-\zeta_o)^2]H_o^{(0)}(t,\tau_1) - q_2(1-\zeta_o)^2 \alpha \int_{\tau_1}^t H_o^{(0)}(\tau,\tau_1)K(t,\tau)d\tau = & M_z, \qquad (2.26) \\ [p_1\zeta_o^2 - p_2(1-\zeta_o)^2]H_o^{(1)}(t,\tau_1) + (2p_1\zeta_o + p_2)\zeta_1H_o^{(0)}(t,\tau_1) + \\ + p_2(1-\zeta_o)\alpha \int_{\tau_1}^t H_o^{(1)}(\tau,\tau_1)K(t,\tau)d\tau - p_2\zeta_1\alpha \int_{\tau_1}^t H_o^{(0)}(\tau,\tau_1)K(t,\tau)d\tau + \\ + \alpha \int_{\tau_1}^t [H_o^{(0)}(x,\tau_1)]^{or}R(t,x,\alpha)dx \Big\}K(t,\tau)d\tau = 0, \qquad (2.27) \\ [q_1\zeta_o^3 + q_2(1-\zeta_o)^2]H_o^{(1)}(t,\tau_1) + [3q_1\zeta_o^2 - 2q_2(1-\zeta_o)]\zeta_1H_o^{(0)}(t,\tau_1) - \\ - q_2(1-\zeta_o)^2 \int_{\tau_0}^t H_o^{(1)}(\tau,\tau_1)K(t,\tau)d\tau + 2q_2(1-\zeta_o)\zeta_1\int_{\tau_0}^t H_o^{(0)}(\tau,\tau_1)K(t,\tau)d\tau + \\ \end{split}$$

$$+ q_{3}^{2m+2} \int_{\tau_{0}}^{t} [H_{0}^{(0)}(\tau, \tau_{1})]^{m} + \alpha \int_{\tau_{0}}^{t} [H_{0}^{(0)}(x, \tau_{1})]^{m} R(t, x, \alpha) dx \} K(t, \tau) d\tau = 0. \quad (2.28)$$

Аналогично можно написать остальные уравнения.

Таким образом, решение системы нелинейных интегральных уравнений (2.20) и (2.21) сводится к решению некоторой совокупности систем линейных интегральных уравнений.

Займемся решением этих уравнений.

Систему уравнений (2.25) и (2.26) можно написать в следующем виде

$$H_{\eta}^{(0)}(t, \tau_1) = \frac{6M_z}{E_z F_z \tau_0^2 (3 - \tau_0) h_1^2},$$
 (2.29)

$$\int_{\tau_1}^{t} H_{\theta}^{(0)}(\tau, \tau_1) K(t, \tau) d\tau = \left[1 - \frac{\zeta_0^2}{2\mu m_1 (1 - \zeta_0)} \right] H_{\theta}^{(0)}(t, \tau_1), \tag{2.30}$$

где $\mu = \frac{F_a}{bh_1}$ — коэффициент армирования, $m_1 = \frac{E_a}{E_a}$ — модульное отношение, $\zeta_0(t)$ и $H_0^{(0)}(t,z_1)$ -неизвестные функции.

Формулы (2.29) и (2.30) совпадают с формулами (3.10) и (3.11), полученными нами для линейной ползучести [1].

Заметим, что если исключить из уравнения (2.30) функцию $H_0^{(0)}(t, \tau_1)$, то получим для определения $\zeta_0(t)$ нелинейное интегральное уравнение Вольтерра, решение которого связано с практически непреотрудностью. Поэтому к интегральному уравнению (2.30) применим метод Н. М. Крылова и Н. И. Боголюбова, как это мы делали при рассмотрении линейной задачи [1]. Тогда для определения $\zeta_0(t_b)$ и $H_a^{(0)}(t, \tau_1)$ получим [1]

$$a_{k_{\tau_0}}^{r_1}(t_k) + b_{k_{\tau_0}}^{r_2}(t_k) + c_{k_{\tau_0}}^{r_2}(t_k) + d_{k_{\tau_0}}(t_k) + l_k = 0,$$
 (2.31)

где

$$\zeta_{0}(t_{k}) = \frac{\eta_{0}(t_{k})}{h_{1}}, \quad \zeta_{0}(\tau_{1}) = \mu m_{1} \sqrt{1 + \frac{2}{\mu m_{1}}} - 1 , \qquad (2.32)$$

$$a_{k} = -\mu m_{1} E_{z} A_{k}, \quad b_{k} = 4\mu m_{1} E_{z} A_{k},$$

$$c_{k} = 3 \Big\{ f[\zeta_{0}(\tau_{1})] \varphi[\zeta_{0}(t_{1})] \varphi[\zeta_{0}(t_{2})] \dots \varphi[\zeta_{0}(t_{k-1})] - a_{k} \Big\},$$

$$d_{k} = -t_{k} = 6 \mu m_{1} f[\zeta_{0}(\tau_{1})] \varphi[\zeta_{0}(t_{1})] \varphi[\zeta_{0}(t_{2})] \dots$$

$$\dots \varphi[\zeta_{0}(t_{k-1})] \Big[1 + E_{\delta} C\Big(t_{k}, \frac{t_{k-1} + t_{k}}{2}\Big) \Big], \qquad (2.33)$$

$$\begin{split} A_{k} &= \varphi[\zeta_{0}(t_{1})] \varphi[\zeta_{0}(t_{2})] ... \varphi[\zeta_{0}(t_{k-1})] [C(t_{k}, \tau_{1}) - C\left(t_{k}, \frac{\tau_{1} + t_{1}}{2}\right)] + \\ &+ f[\zeta_{0}(\tau_{1})] \varphi[\zeta_{0}(t_{2})] ... \varphi[\zeta_{0}(t_{k-1})] \left[C\left(t_{k}, \frac{\tau_{1} + t_{1}}{2}\right) - C\left(t_{k}, \frac{t_{1} + t_{2}}{2}\right) \right] + \end{split}$$

$$+ f[\zeta_0(z_1)] \varphi[\zeta_0(t_1)] \varphi[\zeta_0(t_3)] ... \varphi[\zeta_0(t_{k-1})] \left[C\left(t_k, \frac{t_1 + t_2}{2}\right) - \frac{t_1 + t_2}{2}\right] \right]$$

$$-C\left(t_{k}, \frac{t_{2}+t_{3}}{2}\right) + ... + f[\zeta_{0}(\zeta_{1})] \varphi[\zeta_{0}(t_{1})] \varphi[\zeta_{0}(t_{2})] ... \varphi[\zeta_{0}(t_{k-2})] \times \\ \times \left[C\left(t_{k}, \frac{t_{k-2}+t_{k-1}}{2}\right) - C\left(t_{k}, \frac{t_{k-1}+t_{k}}{2}\right)\right], \tag{2.34}$$

$$f[\zeta_0(\tau_1)] = \frac{1}{3} \zeta_0^{\dagger}(\tau_1) + \mu m_1 [1 - \zeta_0(\tau_1)], \qquad (2.35)$$

$$\varphi[\zeta_0(t_k)] = \frac{1}{6} \zeta_0^2(t_k)[3 - \zeta_0(t_k)] \tag{2.36}$$

$$H_{\delta}^{(0)}(t_k, \tau_1) = \frac{6M_z}{F_c E_c \zeta_c^2(t_k) [3 - \zeta_0(t_k)] h_i^2}.$$
 (2.37)

В формулах (2.31)—(2.37) индексу & нужно давать значения 0, I, 2,.....п, причем to=t,.

Решая уравнение (2.31), определяем то значение $\zeta_0(t_k)$, которое

имеет в данном случае физический смысл. Пользуясь теоремой Штурма, нетрудно показать, что это уравнение имеет только один корень, который для данной задачи имеет физический смысл. Подставляя значение $\zeta_0(t_k)$ в выражение (2.37), определяем $H_*^{(0)}(t_k, \tau_1)$. Придавая индексу k значения 0, 1, 2,n, получим числовые значения $\zeta_0(t)$ и $H_*^{(0)}(t, \tau_1)$ при $t = t_0$, t_1 , t_2 ,, t_n , причем $t_0 = \tau_1$.

Систему уравнений (2.27) и (2.28) можно написать в следующем

виде

$$B_1(\zeta_0)H_0^{(1)}(t, \tau_1) + B_2(\zeta_0)\zeta_1(t) = B_3(\zeta_0)J(t, \tau_1),$$
 (2.38)

$$D_1(\zeta_0)H_s^{(1)}(t, \tau_1) + D_2(\zeta_0)\int_{\tau_1}^{t} H_s^{(1)}(\tau, \tau_1)K(t, \tau)d\tau = D_3(\zeta_0)J(t, \tau_1), \qquad (2.39)$$

тде

$$B_1(\zeta_0) = \frac{1}{3} p_1 q_2 \zeta_0^* (3 - \zeta_0), \quad B_2(\zeta_0) = \frac{3p_2(2 - \zeta_0)}{\zeta_0(3 - \zeta_0)} M_2,$$
 (2.40)

$$B_3(\zeta_0) = -p_2q_3\left(1 + \frac{1-\zeta_0}{m+1}\right)\zeta_0^{m+1},$$
 (2.41)

$$J(t, \tau_1) = \int_{\tau_1}^{t} \{ [H_{+}^{(0)}(\tau, \tau_1)]^m + z \int_{\tau_1}^{\tau} [H_{+}^{(0)}(x, \tau_1)]^m R(t, x, x) dx \} K(t, \tau) d\tau, \qquad (2.42)$$

$$D_1(\zeta_0) = q_1\zeta_0^3 + q_2(1 - \zeta_0)^2,$$

 $D_2(\zeta_0) = q_2(1 - \zeta_0)^2,$ (2.43)
 $D_3(\zeta_0) = -q_3\zeta_0^{m+2}.$

Здесь $\zeta_1(t)$ и $H_n^{(t)}(t, \tau_1)$ неизвестны, а численные значения $B_1(\zeta_0)$, $B_2(\zeta_0)$, $B_3(\zeta_0)$, $D_4(\zeta_0)$, $D_2(\zeta_0)$, $D_3(\zeta_0)$ и $J(t, \tau_1)$ известны для некоторых значений времени τ_1 , t_1 , $t_2,...t_n$.

Сперва рассмотрим интегральное уравнение (2.39) и применим к нему метод Крылова и Боголюбова [1]. Тогда, придавая времени t последовательно возрастающие конкретные значения $t_1, t_2, ... t_n$, получим

$$H_{s}^{(1)}(t_{1}, \tau_{1}) = \frac{D_{3}[\zeta_{0}(t_{1})]J(t_{1}, \tau_{1})}{D_{1}[\zeta_{0}(t_{1})] + \alpha E_{0}D_{2}[\zeta_{0}(t_{1})]C\left(t_{1}, \frac{\tau_{1} + t_{1}}{2}\right)},$$
(2.44)

$$H_{_{0}}^{(l)}(t_{2},\,\tau_{1}) = \frac{1}{D_{1}[\zeta_{0}(t_{2})] + \alpha E_{1}D_{2}[\zeta_{0}(t_{2})] \,C\left(t_{2},\frac{t_{1}+t_{2}}{2}\right)} \, \Big\{ D_{3}[\zeta_{0}(t_{2})] \times \\$$

$$> J(t_2, \tau_1) - \alpha E_1 D_2 [\zeta_0(t_2)] \left[C\left(t_2, \frac{\tau_1 + t_1}{2}\right) - C\left(t_2, \frac{t_1 + t_2}{2}\right) \right] H_0^{(1)}(t_1, \tau_1) \right\}, \quad (2.45)$$

$$H_{\circ}^{(1)}(t_{k}, \tau_{1}) = \frac{1}{D_{1}[\zeta_{0}(t_{k})] + 2E_{s}D_{2}[\zeta_{0}(t_{k})]C\left(t_{k}, \frac{t_{k-1} + t_{k}}{2}\right)} \times$$

$$\times \left\{ D_{3}[\zeta_{0}(t_{k})]J(t_{k}, \tau_{1}) - \alpha E_{0}D_{2}[\zeta_{0}(t_{k})] \left[C\left(t_{k}, \frac{\tau_{1} + t_{1}}{2}\right) - C\left(t_{k}, \frac{t_{1} + t_{2}}{2}\right) \right] H_{0}^{(1)}(t_{1}, \tau_{1}) - \dots - \alpha E_{0}D_{2}[\zeta_{0}(t_{k})] \left[C\left(t_{k}, \frac{t_{k-2} + t_{k-1}}{2}\right) - C\left(t_{k}, \frac{t_{k-1} + t_{k}}{2}\right) \right] H_{0}^{(1)}(t_{k-1}, \tau_{1}) \right\}. \tag{2.46}$$

Уменьшая расчетные интервалы времени, мы можем получить решение с любой точностью. Как показано в работе [7], применение этого метода к задачам теории ползучести оказывается весьма эффективным, так как большая точность получается даже при выборе сравнительно небольшого числа интервалов.

Из этих формул определим численные значения $H_{\bullet}^{(1)}(t_1, \tau_1)$, $H_{\bullet}^{(1)}(t_2, \tau_1), \dots, H_{\bullet}^{(1)}(t_k, \tau_1)$, после чего из соотношения (2.38) можем получить

$$\mathcal{L}_{1}(t_{k}) = \frac{B_{3}[\zeta_{0}(t_{k})]J(t_{k}, \tau_{1}) - B_{1}[\zeta_{0}(t_{k})]H_{0}^{(1)}(t_{k}, \tau_{1})}{B_{2}[\zeta_{0}(t_{k})]}.$$
(2.47)

Придавая индексу k значения 0, 1,2....n, получим численные значения $\zeta_1(t)$ при $t=t_0, t_1, t_2,...t_n$, причем $t_0=z_1$.

Аналогичным образом можно определить остальные приближения. Если ограничиваться только вторым приближением, то для $H_0(t, \tau_1)$ и $\zeta(t)$ получим

$$H_0(t_k, \tau_1) = H_b^{(0)}(t_k, \tau_1) + \beta H_a^{(1)}(t_k, \tau_1) + O(\beta^2),$$
 (2.48)

$$\zeta(t_k) = \zeta_0(t_k) + \beta \zeta_1(t_k) + 0(\beta^2),$$
 (2.49)

тде $H_0^{(0)}(t_k, \tau_1)$, $H_0^{(1)}(t_k, \tau_1)$ и $\zeta_1(t_k)$ определяются соответственно формулами (2.37), (2.46) и (2.47), а $\zeta_0(t_k)$ является решением уравнения (2.31).

Здесь $\zeta(t_k) = \frac{\tau_i(t_k)}{h_1}$ есть отношение высоты сжатой зоны сечения

балки в момент времени t к полезной высоте сечения.

Пользуясь выражениями (1.4), (2.19), (2.48), (2.37) и (2.46), для определения полной продольной деформации бетона получим

$$\begin{aligned}
&\varepsilon_{\delta}(t_{1}) = H_{0}(t_{1}, \tau_{1})y + \alpha E_{\delta}\{H_{0}(\tau_{1}, \tau_{1})[C(t_{1}\tau_{1}) - C(t_{1}, \tau_{1})] + H_{0}(t_{1}, \tau_{1}) C(t_{1}, \tau_{1})[C(t_{1}\tau_{1}) - C(t_{1}, \tau_{1}+t_{1})] + H_{0}(t_{1}, \tau_{1}) C(t_{1}, \tau_{1}) \}y , \qquad (2.50)
\end{aligned}$$

$$\varepsilon_{\delta}(t_{2}) = H_{0}(t_{2}, \tau_{1})y + \alpha E_{\delta}\{H_{0}(\tau_{1}, \tau_{1})[C(t_{2}, \tau_{1}) - C(t_{2}, \tau_{1}+t_{1})] + H_{0}(t_{1}, \tau_{1}) [C(t_{2}, \tau_{1}+t_{1}) - C(t_{2}, \tau_{1}+t_{2})] + H_{0}(t_{2}, \tau_{1}) C(t_{2}, \tau_{1}+t_{2}) \}y , \qquad (2.51)$$

⁷ Известия АН, серия физ.-мат.наук, № 2

$$\varepsilon_{\delta}(t_{k}) = H_{0}(t_{k}, \tau_{1})y + \alpha E_{\delta}\{H_{0}(\tau_{1}, \tau_{1})[C(t_{k}, \tau_{1}) - C(t_{k}, \frac{\tau_{1} + t_{1}}{2})] + H_{0}(t_{1}, \tau_{1})[C(t_{k}, \frac{\tau_{1} + t_{1}}{2}) - C(t_{k}, \frac{t_{1} + t_{2}}{2})] + H_{0}(t_{2}, \tau_{1})[C(t_{k}, \frac{t_{1} + t_{2}}{2}) - C(t_{k}, \frac{t_{2} + t_{3}}{2})] + \dots + H_{0}(t_{k-1}, \tau_{1}) \times$$

$$\times \left[C(t_{k}, \frac{t_{k-2} + t_{k-1}}{2}) - C(t_{k}, \frac{t_{k-1} + t_{k}}{2})] + H_{0}(t_{k}, \tau_{1})C(t_{k}, \frac{t_{k-1} + t_{k}}{2})\right] y.$$
(2.52)

Если известна продольная деформация бетона, то можно согласно (2.14) определить деформацию в арматуре. Для определения закона изменения деформации в арматуре получим формулу

$$\frac{\varepsilon_a(t_k)}{\varepsilon_a(\tau_1)} = \frac{1 - \zeta(t_k)}{1 - \zeta(\tau_1)} \frac{\varepsilon_{\varepsilon}(t_k)}{\varepsilon_{\varepsilon}(\tau_1)}, \tag{2.53}$$

где индекс k принимает значения 0,1,2...n, причем $t_0=t_1$.

Перейдем к определению прогиба балки.

На основании (2.19) можем написать

$$\frac{d^2W(t)}{dz^2} = H_0(t, \tau_1) - \alpha \int_{\tau_1}^{t} H_0(\tau, \tau_1) K(t, \tau) d\tau, \qquad (2.54)$$

$$\frac{d^2W(\tau_1)}{dz^2} = H_0(\tau_1, \tau_1),$$

где W(t)—прогиб балки в момент времени t, $W(\tau_1)$ —прогиб балки в момент времени τ_1 .

Отсюда следует, что

$$\frac{d^2W(t)}{dz^2} = \frac{H_0(t, \tau_1) - \alpha \int_{\tau_1}^t H_0(\tau, \tau_1) K(t, \tau) d\tau}{H_0(\tau_1, \tau_1)} \frac{d^2W(\tau_1)}{dz^2}.$$
 (2.55)

Интегрируя это уравнение и принимая для простоты такое закрепление опор балки, чтобы постоянные интегрирования равнялись нулю, получим

$$\frac{W(t)}{W(\tau_1)} = \frac{H_0(t, \tau_1) - \alpha \int_{\tau_1}^{t} H_0(\tau, \tau_1) \kappa(t, \tau) d\tau}{H_0(\tau_1, \tau_1)}.$$
 (2.56)

Для определения численных значений $\dfrac{W(t)}{W(au_i)}$ нужно пользоваться

выражениями (2.48), (2.37), (2.44), (2.45) и (2.46). Напряжение в бетоне определяется формулой (2.12), где вместо функции $H_0(t, \tau_1)$ нужно подставить ее значение из (2.48), (2.37), (2.44), (2.45) и (2.46). Если ограничиваться первыми двумя приближениями, то для определения напряжений в бетоне получим

$$\sigma_s(t) = E_s y \{H_s(t, \tau_1) + \beta(E_s y)^{m-1} J(t, \tau_1)\} + O(\beta^x),$$
 (2.57)

где $J(t, \tau_1)$ определяется формулой (2.42).

Если известна деформация арматуры, то напряжение в арматуре определяется по (2.15), т. е.

$$\tau_a(t) = E_a \varepsilon_a(t). \tag{2.58}$$

Для определения закона изменения $\zeta(t)$ находим

$$\frac{\zeta(t_k)}{\zeta(\tau_l)} = \frac{1}{\zeta(\tau_1)} \left\{ \zeta_0(t_k) + \beta \frac{B_3[\zeta_0(t_k)]J(t_k, \tau_1) - B_1[\zeta_0(t_k)]H_0^{(1)}(t_k, \tau_1)}{B_2[\zeta_0(t_k)]} \right\}, \quad (2.59)$$

где индексу k нужно давать значения 0,1,2,...n и еще принять $t_0 = \tau_1$. Здесь $\zeta(\tau_1) = \zeta_0(\tau_1)$.

С целью иллюстрации некоторых количественных результатов, рассмотрим численный пример.

Примем

$$C(t, z) = \left(\frac{4,82}{z} + 0.9\right) \left[1 - e^{-0.026(t-z)}\right] 10^{-5},$$

μ=0.0165; $E_k=1.4\cdot 10^5$ κε/cm; $τ_1=7$ dneü; m=2; $M_z=1.300000$ κε.cm; b=25 cm; $h_1=50$ cm.

При этих данных рассмотрим четыре случая, соответствующих значениям параметра нелинейности; β =0, β =0,001, β =0,01 β =0,02.

Очевидно, что значению β = 0 соответствует линейная ползучесть, рассмотренная в работе [1], а остальным значениям β соответствует нелинейная ползучесть с квадратичным законом нелинейности.

Для нахождения искомых функций разобъем промежуток времени в 360 дней на пять последовательно возрастающих интервалов $\tau_1 = 7$, $t_1 = 14$, $t_2 = 28$, $t_3 = 90$, $t_4 = 360$ дням.

Ниже приводятся 4 таблицы. В этих таблицах даются численные значения отношений

$$\frac{\zeta(t)}{\zeta(\tau_1)}, \frac{\sigma_{\delta}(t)}{\sigma_{\delta}(\tau_1)}, \frac{\sigma_{a}(t)}{\sigma_{a}(\tau_1)}, \frac{\varepsilon_{\delta}(t)}{\varepsilon_{\delta}(\tau_1)}, \frac{\varepsilon_{a}(t)}{\varepsilon_{a}(\tau_1)}, \frac{W(t)}{W(\tau_1)},$$
(5.60)

в зависимости от различных значений времени t и параметра нелинейности β при первом и втором приближениях.

Численные значения отношений (5.60) при линейной ползучести взяты из нашей работы [1].

Численные значения $\zeta(t)/\zeta(\tau_1)$ в зависимости от времени t и коэффициента нелинейности β при первом и втором приближениях

Таблица 1

*	Приближения				
	первое	второе			
	параметр нелинейности в				
	0	0,001	0,01	0.02	
7	1	1.	1	1	
14	1,11947	1,12729	1,19779	1,27717	
28	1,26739	1,28147	1,41448	1,55847	
90	1,43638	1,44927	1,60330	1.78112	
360	1,45400	1,47009	1,62641	1,80655	

Численные значения $\frac{\epsilon_{\delta}(t)}{z_{\delta}(z_{1})} = \frac{W(t)}{W(z_{1})}$ в зависимости от времени t и коэффициента нелинейности β при первом и втором приближениях

Таблица 2

,	Приближения				
	первое	второе			
	параметр нелинейности в				
	0	0,001	0,01	0,02	
7	1	1	1	1	
14	1,156500	1,169691	1,286255	1,415515	
28	1,420321	1,160172	1,779114	2,133820	
90	1,883662	1,941421	2,554497	3,257700	
360	1,947630	2,021786	2,779640	3,547501	

Численные значения $\frac{\sigma_a(t)}{\sigma_a(\tau_t)} = \frac{\varepsilon_a(t)}{\varepsilon_a(\tau_t)}$ в зависимости от времени t и коэффициента нелинейности β при первом и втором приближениях

Таблица 3

	Приближения		
	первое	второе	
	параметр нелинейности β		
	0	0,001	
7	1 (19)14	1	
14	1,023885	1,026497	
28	1,055120	1,064939	
90	1,093223	1,102649	
360	1,097427	1,10797	

Численные значения $\frac{\sigma_0(t)}{\sigma_0(\tau_1)}$ в зависимости от времени t и коэффициента нелинейности β при первом и втором приближениях в точках $y = h_1 \zeta(t), \quad y = \frac{1}{2} \ h_1 \zeta(t)$ и y = 0.

Таблица 4

t	Значения у	Прибли	Приближения	
		первое	второе	
	эначеная у	параметр не.	параметр нелинейности в	
		0	0,001	
7		1	1	
14	$y=h_1\zeta(t_1)$	0.817014	0,797518	
	$y = \frac{1}{2} h_i \zeta(t_i)$	0,817014	0,812942	
	y==0	0,817014	0,828365	
28	$y = h_1 \zeta(t_2)$	0,656870	0,624827	
	$y = \frac{1}{2} h_1 \xi(t_2)$	0,656870	0,655838	
	y=0	0,656870	0,682850	
90	$y = h_1 \zeta(t_3)$	0,539848	0.509090	
	$y = \frac{1}{2} h_i \xi(t_i)$	0,539848	0,535850	
	y=0	0,539848	0,563620	
360	$y = h_1 \xi(t_4)$	0,529042	0,49404	
	$y = \frac{1}{2} h_i \xi(t_i)$	0,529042	0,51975	
	y=0	0,529042	0,54546	

Из этих таблиц следует, что 1) увеличение отношения высоты сжатой зоны сечения балки к полезной высоте сечения в условиях неустановившейся ползучести сильно активизируется, 2) особенно сильно активизируется увеличение деформации и прогиба в бетоне (например, при β =0,02 \approx (t) и W(t) в два раза больше, чем в случае линейной ползучести), 3) увеличение напряжения и деформации в арматуре в условиях нелинейной ползучести при β =0,001 незначительно и 4) при нелинейной ползучести напряжение в бетоне в точках $0 < y \le h_1 \zeta(t)$ затухает, а в точках $y \le 0$ —увеличивается.

U. U. Umforbim6

ԵՐԿԱԹԲԵՏՈՆԵ ՀԵԾԱՆԻ ԾՌՈՒՄԸ ԲԵՏՈՆԻ ՄԻԱՅՆ ՍԵՂՄՎՍԾ ԳՈՏՈ ՈՉ ՀԱՍՏԱՏՎԱԾ ՍՈՂՔԻ ՀԱՇՎԱՌՈՒՄՈՎ

UUTONONEU

Ներկա աշխատության մեջ ուսումնասիրվում են ծովող երկաթրետմ հեծանի լարումները և դեֆորմացիան, երբ բետոնի սեղմված գոտին աշխ տում է լրիվ, իսկ ձգված գոտին չի աշխատում՝ նրանում առաջացած ճարկ պատճառով։

Առաջադրված խնդրի ընդհանուր լուծումը ընտոնի դժային սողջի դեւ քում արված է [1] աշխատությունում։ Բայց էքսպնրիմենտալ հետավոտո Թյունները ցույց են տալիս, որ մեծ լարումների դեպքում (0≤σ≤R, որա R-ը նյունի կայունության սահմանն է) սողջի դեֆորմացիայի և համապ տասխան լարումների միջև դժային կապը խախավում է։ Այդ պատճատ առաջադրված խնդիրը լուժելու համար օգտագործվում է և Խ. Հարությա լանի առաջադրած սողջի ոչ-գծային տեսությունը։ Ծնղրի լուժումը բնթփ է Վոլտերրի երկրորդ սեռի ինտեդրալ հավասարմանը, որի լուժման համո օգտագործվում է [3] աշխատության մեջ շարադրված մենեոդը։

Այս մեթոդի տոտնձնածատկությունն այն է, որ որպես տոաջին մոտ վորություն վերցվում է ոչ թե իննդրի տոտձդական լուծումը, ինչպես այննդունված է կատարել սողջի ոչ-դժային տեսության իննդիրը Պիկարի ծաթո դական մոտավորությունների մեթոդով լուծելիս, այլ գժային սողջի ծամապատասխան իննդրի լուժումը։ Այս առանձնածատկության չնործիվ դդայիորի ուժեղանում է հաջորդական մոտավորությունների դուդամիտության արացո թյունը։

F(3) ֆունկցիան, որը բնորոշում է սողջի դևալքում տվյալ նլունի լա վածունկան և դեֆորմացիայի միջև հղած ոչ-դժային առնչունկունը, վերցված

$$F(\sigma) = \alpha \sigma + \beta \sigma^m$$

տեսքով, որտեղ 2, 3, m-հաստատուն պարաժետրներ են, որոնք որոշվում փորձից և բավարարում են z+3=1 պալժանին։

ЛИТЕРАТУРА

- Манукян М. М. Деформации и напряжения в изгибаемой железобетонной бы с учетом ползучести сжатой и частично растянутой зои бетона. Известия в Арм. ССР, серяя физ.-мат. наук, том IX, № 9. 1956.
- 2. Арутюняи Н. Х. Некоторые вопросы теории ползучести. Гостехиздат, М., 1952.
- Александрян Р. А., Арутюнян Н. Х., Манукян М. М. Кручение тонкостена стержней замкнутого профиля в условиях неустановившейся ползучести. ПМ том XXII, вып. 6, 1958.
- Манукян М. М. Изгиб железобетонной балки с учетом установившейся ползучестолько сжатой зоны бетона. Известия АН Арм. ССР, серия физ.-мат. на том X, № 4, 1957.

- Карапетян К. С. Влияние старения бетона на зависимость между напряжениями и деформациями ползучести. Известия АН Арм. ССР, серия физ.-мат. наук. № 4, 1959.
- У Жуй-фын. Неустановивщаяся ползучесть составных цилиндрических труб в упругой среде. Известия АН Арм. ССР; серия физ.-мат. наук, № 3, 1959.
- Манукян М. М. Определение напряжений в некоторых железобетонных элементах с учетом ползучести и изменений модуля мгновенной деформации бетона. Известия АН Арм. ССР, серия ФМЕТ наук, т. VII, № 6, 1954.